

بررسی شرایط فیزیکی و شکل‌گیری‌های بلور ماقما با استفاده از توزیع اندازه بلور در گرانیت‌وئیدهای باتولیت بیارجمند، شمال ایران مرکزی

کاظم کاظمی^{۱*}، علی کتعانیان^۱، فاطمه سرجوقیان^۲

۱- دانشکده زمین‌شناسی، پردیس علوم، دانشگاه تهران، تهران، ایران

۲- گروه علوم زمین، دانشکده علوم، دانشگاه کردستان، کردستان، ایران

(دریافت مقاله: ۹۵/۶/۲۲؛ نسخه نهایی: ۹۵/۱۰/۱۱)

چکیده: باتولیت بیارجمند با سن پرکامبرین واقع در شمال سمنان، در شمال ایران مرکزی از نظر سنگ‌شناسی شامل گرانیت، گرانودیوریت، کوارتزمونزدیوریت و گابرودیوریت است. این سنگ‌ها بافت دانه‌ای و در برخی موارد بافت‌های گرانوفیری، پرتیتی و پوئی‌کلیتیک دارند. بررسی‌های توزیع اندازه بلور (CSD) می‌تواند فرآیندهای ماقمایی را آشکار سازد. به منظور تعیین سهم حجمی، مدت زمان رشد، سرعت هسته‌بندی بلورهای فلدسپار و سرعت بلور ماقما، بلورهای فلدسپار ۸ نمونه از سنگ‌های گرانیت، گرانودیوریت و کوارتز مونزدیوریتی به کمک نرم افزارهای JMicrоЩision و CSD Corrections آنالیز کمی شدند و سپس نتایج به دست آمده از آنالیز نمونه‌های مختلف با هم مقایسه شدند. سهم حجمی محاسبه شده نشان می‌دهد که درصد این کانی از ۱۰/۹۵ (در کوارتزمونزدیوریت) تا ۳۹/۲ (در گرانیت‌ها) متغیر است. با توجه به سرعت رشد (mms^{-1}) ۱۰^{-۱۰} و شبیه نمودارهای CSD_{۳-۹۳} تا ۶/۸۸، نمونه‌ها در گستره‌ی زمانی متفاوتی رشد کرده‌اند و مدت زمان رشد در گرانودیوریت و گرانیت‌ها بیشتر از کوارتزمونزدیوریت-هاست به طوری که زمان رشد بلور در سنگ‌های گرانیتی و گرانودیوریتی ۵۴/۲۹ تا ۸۱/۹۳ سال و در سنگ‌های کوارتزمونزدیوریتی ۴۶/۰۸ سال برآورد شده است. علاوه بر آن سرعت هسته‌بندی در کوارتز مونزدیوریت‌ها بیشترین مقدار و در گرانودیوریت و گرانیت‌ها کمترین مقدار است و موجب شده است تا بلورهای موجود در گرانودیوریت و گرانیت‌ها درشت‌تر از بلورهای کوارتزمونزدیوریت‌ها شوند و با مشاهدات سنگ‌نگاری هماهنگی دارد و نشانگر اهمیت شرایط مختلف فیزیکی حاکم بر انجاماد ماقمایست. در بعضی از نمودارهای توزیع پراکندگی شکستگی و خمیدگی مشاهده می‌شود که می‌تواند ناشی از عملکرد آلودگی و اختلاط ماقمایی و فرآیند جدایش باشد.

واژه‌های کلیدی: بیارجمند، گرانیت‌وئید CSD، سهم حجمی، سرعت هسته‌بندی.

سن به روش پردازش یونی روی بلورهای زیرکن سن پرکامبرین

برای این توده نفوذی به دست آمده است [۲].

بررسی بافت سنگ‌های آذرین و ویژگی‌های اجزای سازنده-ی آن‌ها (از جمله بلورها، شیشه‌ها و حفره‌ها) از دیرباز به عنوان متداول‌ترین روش برای ارزیابی فرآیندهای فیزیکی و سیستم‌های ماقمایی به کار رفته است، چرا که بافت سنگ‌های آذرین، تاریخچه‌ی فیزیکی تبلور را در خود ثبت می‌کند [۳].

بافت‌ها نتیجه‌ی متبلور شدن سنگ‌ها هستند و ضروری است که برای تعیین شرایط تبلور سنگ‌های آذرین از مدل‌های

مقدمه

توده‌ی بیارجمند با روند شمال شرقی- جنوب غربی، در منتهی الیه شمال غرب نقشه زمین‌شناسی ۱:۲۵۰۰۰ خارتوران و در شمال شرق نقشه ۱:۱۰۰۰۰ رزو، در فاصله ۵ کیلومتری روستای کی‌کی، بین طول‌های جغرافیایی ۵۵ درجه و ۲۰ دقیقه تا ۵۵ درجه و ۳۷ دقیقه شرقی و عرض‌های جغرافیایی ۳۵ درجه و ۵۰ دقیقه تا ۳۶ درجه و ۳ دقیقه شمالی، در استان سمنان واقع شده است و بر اساس تقسیم‌بندی نبوی [۱] جزئی از منطقه‌ی ایران مرکزی به شمار می‌رود. با استفاده از تعیین نویسنده مسئول، تلفن: ۰۲۱۶۱۱۲۴۹۳، نامبر: ۰۲۱۶۶۴۹۱۶۲۳، پست الکترونیکی: Kazem.kazemii@ut.ac.ir

استفاده از اشکال نمودارهای CSD به تحولات ماقمایی و فرآیندهای تکامل ماقمایی از قبیل تبلور، اختلاط و آلودگی پی برد.

روش بررسی

روش‌های تحلیلی بافتی معمولاً از روش‌های متداول در مرجع [۱۶] استنتاج شده‌اند. در این پژوهش، برای بررسی کمی توزيع اندازه‌ی بلور، نخست از نمونه‌های سنگی مقاطع نازک تهیه شد و سپس از آن‌ها عکسبرداری دیجیتالی انجام گرفت. در مرحله بعد بلورهای فلدسپار پتابسیم با استفاده از نرم افزار JMicroVision به صورت مجزا مشخص شده و مورد بررسی قرار گرفتند و نتیجه آن به صورت داده‌های دو بعدی (طول، عرض، مساحت و ...) استخراج شد. این داده‌های خام اندازه‌های بلوری تنها از یک سطح اندازه‌گیری شده‌اند و آشکار است که برای بررسی‌های سنگ‌شناسی، داده‌ها یا اندازه‌گیری‌های سه بعدی مورد نیاز است. بنابراین لازم است داده‌های مقاطع دو بعدی به سه بعدی CSDs تبدیل شوند که این کار با استفاده از نرم افزار ۱.۳ CSD Corrections صورت گرفته است [۲۰، ۲۱]. برای محاسبه CSDs از اندازه‌گیری‌های ۲D و با استفاده از ۱.۳ CSD Corrections، نیاز به شناخت میانگین شکل بلور است، که به صورت نسبت تصویر بلور L:S:I:R متوسط-بلند) بیان می‌شود. برآورد شکل سه بعدی با استفاده از داده‌های دو بعدی نخستین بار توسط هگنیس [۲۲] پیشنهاد شد، به طوری که توزیع نسبت محور بلند به محور کوتاه در مقطع نازک سنگ، رابطه‌ی نزدیکی با شکل سه بعدی بلورها دارد. شکل ۱ رابطه‌ی بین فراوانی نسبت عرض به طول بلور در دو بعد و شکل سه بعدی آن را نشان می‌دهد. پارامتر دیگر در بخش input shape نرم‌افزار CSD، عامل گردش‌گری است که ترکیبی از شکل بیضی و متوازی السطوح است و مقدار آن از صفر (برای متوازی السطوح) تا یک (برای بیضی سه محوره) متغیر است. با توجه به شکل دار بودن بیشتر بلورها، عامل گردش‌گری برای همه‌ی نمونه‌ها در نظر گرفته شد و فاکتور شکل نیز متناسب با شکل بلورها تعیین شد. (شکل‌های مکعبی ۱:۱، منشوری ۱:۱:۱، تیغه‌ای ۱:۱:۰، صفحه‌ای ۱:۰:۱) [۵] تعیین شد. همچنین بافت همه نمونه‌ها توده‌ای در نظر گرفته شده است. در نهایت با توجه به پارامترها و اطلاعات وارد

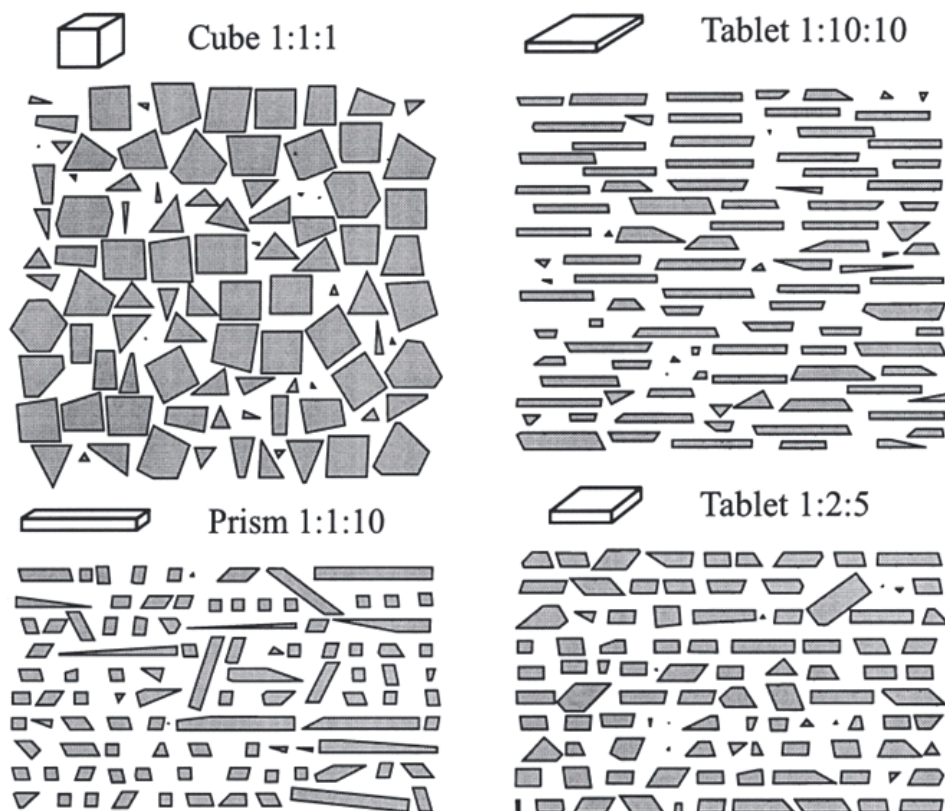
کمی و بافتی کمک بگیریم [۴، ۵]. به منظور بررسی چگونگی سه بعدی اجزای سازنده‌ی بلورها و قطعات سنگی در زمین-شناسی روش‌های مختلفی به وسیله‌ی پژوهشگران مختلف در سال‌های اخیر به کار گرفته شده است. روش استخراج داده‌ها با توجه به عواملی مانند: ماهیت فیزیکی سنگ، نوع پراکندگی و اندازه‌ی کانی‌های مورد نظر، امکانات در دسترس و ... متغیر است [۶]. بررسی سه بعدی بلورها در سنگ‌ها می‌تواند به صورت بررسی مستقیم آن‌ها از طریق جدا کردن بلورها از زمینه‌ی سنگ و اندازه‌گیری ابعاد انجام شود. روش دیگر استفاده از روش‌های پرتونگاری و میکروپرتونگاری پرتو ایکس است. نمونه‌ای از بررسی‌های سه بعدی ساختار بلورها با این روش، بررسی ذرات الماس، گارنت، الیوین و شناسایی ساختار سه بعدی قطعات مختلف درون کندریت‌ها است [۷-۹].

توزیع اندازه بلور در سه بعد (CSDs)، می‌تواند اطلاعات بسیاری را درباره مسائل سنگ‌شناسی [۱۰-۱۲] از قبیل شرایط تاریخچه گرمایی ماقما، سرعت و نرخ رشد و زمان استراحت یا زمان رشد ماقما در اختیار ما قرار دهد [۱۳، ۱۴]. در واقع CSD بازتاب کننده ویژگی‌های ذاتی یک سنگ همچون چگالی و یا ترکیب سنگ است [۱۵]. این روش دریچه‌ای حیاتی به فرآیندهای ماقمایی می‌گشاید، زیرا پراکندگی اندازه بلور بازتابی از تاریخ تبلور آن است [۱۶]. در نتیجه می‌توان از این روش به عنوان مکمل بررسی‌های شیمیایی در بررسی تشکیل و تحلیل شکل‌گیری سنگ‌های آذرین استفاده کرد [۱۷، ۱۸]. در طی ۴۰ سال گذشته بررسی‌های زیادی پیرامون اندازه‌های بلوری در سنگ‌های آذرین انجام گرفته است که یکی از مدعیان آن‌ها جکسون [۱۹] است. راندل و لارسون نیز در سال ۱۹۷۱ با استفاده از توزیع اندازه دانه‌ها به بررسی گدازه‌ها پرداخته‌اند [۱۱]. محاسبات این پژوهندگان به صورت نظری ارائه شده بود که بعدها توسط مارش به صورت یک روش کاملاً علمی درآمد و نرم افزار CSD برای این روش طراحی شده است.

در این پژوهش، سرعت تبلور بلورهای فلدسپار پتابسیم، ۸ نمونه از توده‌ی گرانیتوئیدی بیارجمند به منظور تعیین شرایط تشکیل مورد بررسی قرار گرفته‌اند و با استفاده از روش توزیع اندازه بلور (CSD)، زمان رشد، سرعت هسته‌بندی و سهم حجمی بلورهای فلدسپار محاسبه شدند. همچنین می‌توان با

و مدت رشد بلورها، سرعت هسته‌بندی و شاخص نیکویی برآراش (که نشان می‌دهد که داده‌ها تا چه اندازه برای تشکیل یک CSDs به صورت خط مستقیم اهمیت دارند) برای هر یک از نمونه‌ها محاسبه شد (جدول ۱).

شده، داده‌های CSD بر نمودار لگاریتمی (چگالی انباشتی) \ln بر حسب اندازه (بلندترین بعد = L) ترسیم شد (شکل ۶). با اقتباس از روش مارش، [۵] واحد اندازه‌گیری برای بلورها mm و مقیاس چگالی انباشتی^۴ mm در نظر گرفته شدند. با استفاده از داده‌ها و نمودارهای به دست آمده از نرم افزار CSD، سرعت



شکل ۱ نوع پراکندگی نسبت‌های طول به عرض بلور در دو بعد، نمودی از شکل سه بعدی (مکعبی، منشوری، تیغه‌ای و صفحه‌ای) آن است [۲۰].

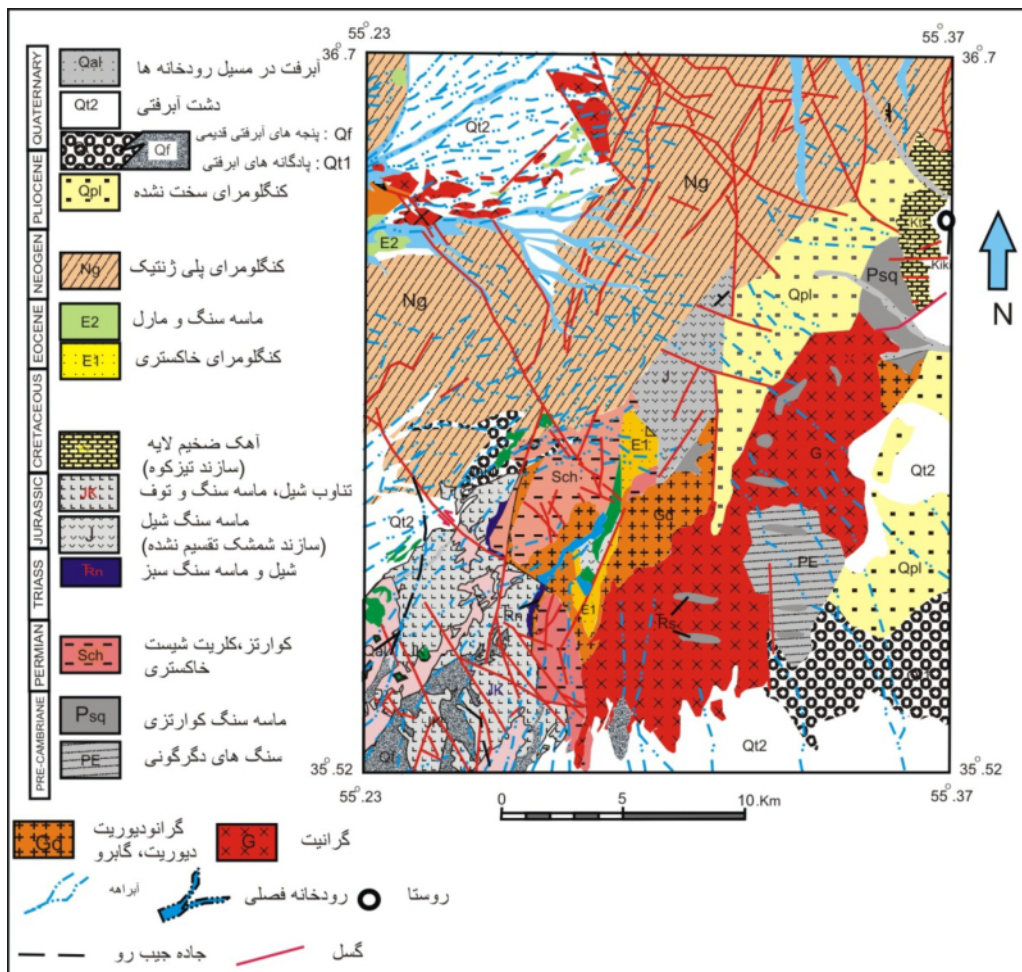
جدول ۱ نتایج محاسبات حاصل از نمودارهای CSD برای نمونه‌های مورد بررسی

شماره نمونه	سهم حجمی (%)	$\ln(n^\circ)$	عرض از مبدأ	شیب نمودار	مدت زمان رشد (yr)	طول مشخصه LD (mm)	پارامتر Q	سرعت هسته‌بندی (j) mm^{-3}/s	سرعت رشد (G) mm/s
KD6	۱۰,۹۵	۴,۰۷	-۶,۸۸	۴۶,۰۸	۰,۱۴۵	۰,۹۹۷	$۵,۸۵ \times 10^{-۹}$	۱×10^{-۱}	
KD11	۲۰,۶۵	۲,۹۷	-۳,۹۳	۸۰,۶۸	۰,۲۵۴	۱	$۱,۹۴ \times 10^{-۹}$	۱×10^{-۱}	
KE3	۲۳,۶	۳,۸۲	-۵,۸۴	۵۴,۲۹	۰,۱۷۱	۰,۹۹۲	$۴,۵۶ \times 10^{-۹}$	۱×10^{-۱}	
KE4	۲۴,۴۲	۳,۳۲	-۴,۸۲	۶۵,۷۸	۰,۲۰۷	۰,۹۹۹	$۲,۷۶ \times 10^{-۹}$	۱×10^{-۱}	
KE1	۲۸,۴۴	۳,۵۵	-۵,۲۸	۶۰,۰۵	۰,۱۸۹	۰,۹۳	$۳,۴۸ \times 10^{-۹}$	۱×10^{-۱}	
KE5	۲۸,۵۴	۳,۶۹	-۵,۴۵	۵۸,۱۸	۰,۱۸۳	۰,۹۷۸	$۴,۰۴ \times 10^{-۹}$	۱×10^{-۱}	
KD8	۳۹,۲	۳,۷۶	-۵,۴۵	۵۸,۱۸	۰,۱۸۳	۰,۹۱۹	$۴,۲۹ \times 10^{-۹}$	۱×10^{-۱}	
KE2	۳۵,۵۵	۲,۹۱	-۳,۸۷	۸۱,۹۳	۰,۲۵۸	۰,۸۹	$۱,۸۳ \times 10^{-۹}$	۱×10^{-۱}	

توجه به بررسی‌های سن‌سنگی صورت گرفته (572 ± 35 Ma) [۱۲] و شواهد صحرایی مبنی بر قطع شدگی این سنگ‌ها به وسیله‌ی دایک‌های گرانوئدیوریتی، به نظر می‌رسد، که ماسه‌سنگ‌های دربرگیرنده‌ی توده نفوذی وابسته به پرکامبرین باشند. سنگ‌های رسوی با سن تئوکومین به طور دگرشیب سازند شمشک را پوشانده‌اند و این سنگ‌ها با سنگ آهک ضخیم لایه سازند تیزکوه که در بخش‌های پایینی دولومیتی شده است، دنبال می‌شوند. واحدهای اوسن بیشترین گسترش را در منطقه دارند و از جنوب میامی تا شمال روتاستای کیکی گستردہ شده‌اند. در ناحیه میامی نهشته‌های اوسن بیشتر از سنگ‌های رسوی تشکیل شده است و مقدار اندکی دارای سنگ‌های آتشفشانی است. اوسن زیرین با پیشروی گستردہ دریا همراه بوده که حاصل آن رسوب‌های کنگلومراپی و ماسه

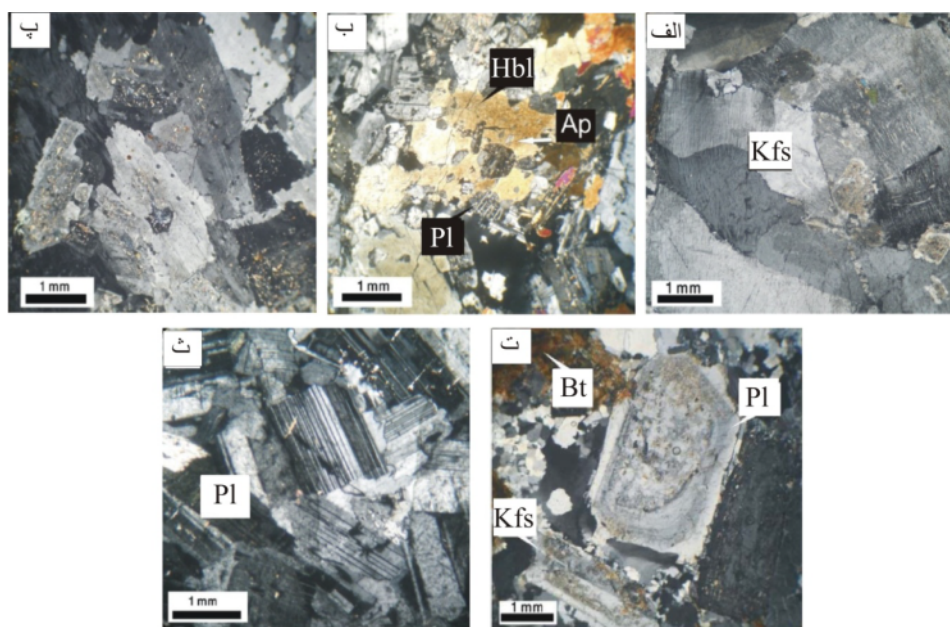
زمین‌شناسی عمومی

از نظر تقسیمات ساختاری توده‌ی نفوذی جنوب بیارجمند در منتهی‌الیه شمالی منطقه‌ی ایران مرکزی واقع شده است. براساس شرح نقشه‌های زمین‌شناسی (نقشه‌ی زمین‌شناسی ۱:۱۰۰۰۰۰ رزوه [۲۳]، نقشه‌ی زمین‌شناسی ۱:۱۰۰۰۰۰ بسطام [۲۴]، نقشه‌ی زمین‌شناسی ۱:۲۵۰۰۰۰ خارتوران [۲۶]) و بررسی‌های صحرائی انجام شده، پیکره‌های سنگی منطقه شامل سنگ‌های رسوی، سنگ‌های آذرین درونی (گرانیتوئید بیارجمند) و بیرونی و آذرآواری به سن پرکامبرین تا کواترنری است (شکل ۲). سنگ‌های رسوی مهم شامل گنگلومرا، ماسه‌سنگ همراه با میان لایه‌های شیلی هستند که در نقشه‌های زمین‌شناسی معادل سازند شمشک در نظر گرفته شده‌اند و سنگ میزان توده‌ی گرانیتوئیدی بیارجمند است. البته گفتی است که با



شکل ۲ نقشه ساده زمین‌شناسی توده نفوذی جنوب غرب بیارجمند (اقتباس از نقشه‌های زمین‌شناسی ۱:۱۰۰۰۰۰ رزوه، ۱:۱۰۰۰۰۰ خارتوران و ۱:۲۵۰۰۰۰ جاجرم با تغییرات جزئی).

گرانوودیوریت است. در حالی که واحد حدواسط- مافیک از مجموعه سنگ‌شناسی گابروودیوریت و دیوریت تشکیل شده است. این توده در همبری با سنگ‌های میزبان دستخوش دگرشکلی خمیری شدید بوده و بر اساس شواهد بافتی دگرشکلی طی استقرار توده تنها در شرایط دمایی بالای انجام داده است. این توده در حضور مقدار کمی گدازه رخ داده است [۲۷]. گرانیتها از نظر مشخصه‌های مکروسکوپیکی صورتی رنگ و دانه درشت هستند. کانی‌های فلزیک شامل فلدسپارقلایی، پلاژیوکلاز و کوارتز بوده و بیوتیت به عنوان تنها کانی فرومینیزین در این سنگ‌ها حضور دارد. همچنین این سنگ‌ها فاقد مسکویت و کانی‌های آلومینوسیلیکاتی هستند. بافت غالب در گرانیتها دانه‌ای است ولی گاهی بافت‌های گرانوفیری، پرتیتی و خال خال نیز مشاهده می‌شود (شکل ۳). فلدسپار قلایی اغلب به صورت پورفیرهای درشت در متن سنگ دیده می‌شوند که طول آن‌ها گاه به ۲ سانتی‌متر نیز رسیده و حجم قابل توجهی از این سنگ‌ها را به خود اختصاص داده‌اند. برخی از این کانی‌ها دارای ماکل کارلسیاد هستند و به صورت جزئی به کائولینیت دگرسان شده‌اند. کوارتزها، دارای خاموشی موجی، حاشیه مضرس و شکستگی‌های فراوان هستند. پلاژیوکلازها با فراوانی کمتر، ماکل پلی‌سنتتیک و در برخی موارد با منطقه‌بندي دیده می‌شوند (شکل ۳). بیوتیت بین مجموعه کانی‌ها حضور دارد و گاهی به کلریت دگرسان شده است.



شکل ۳ الف: بافت پرتیتی در سنگ‌های گرانیتی، ب: هورنبلند واحد انکلوزیون‌های آپاتیت و پلاژیوکلاز و تشکیل بافت پوئی‌کیلیتیک، پ: تصویر میکروسکوپیکی از بافت دانه‌ای در گرانیت، ت: نمایی از منطقه‌بندی در پلاژیوکلاز، ث: نمایی از بافت دانه‌ای در نمونه کوارتز مونزودیوریتی.

سنگ و مارنی گستردگی‌ای است که در شمال و شمال غربی روستای کیکی بروند دارد. در اؤسن بالایی حوضه متلاطم‌تر شده و همراه با رسوب‌های کنگلومرا و ماسه‌سنگ و مارنی، گدازه‌های آندزیتی و آندزیتی بازالتی به درون حوضه ریخته شده است. رسوب‌های نئوژن بیشتر از کنگلومرا چندزایی به رنگ خاکستری روشن با سیمانی سست تشکیل شده است که با ناپیوستگی زاویدار بر لایه‌های قدیمی‌تر از خود جای می‌گیرد. رسوب‌های کواترنری بیشتر شامل پادگانه‌های قدیمی و بادزن‌های آبرفتی و کنگلومرا سخت نشده قهوه‌ای رنگ هستند که این رسوب‌ها به همراه رسوب‌های نئوژن جوانترین واحدهای رسوبی منطقه‌ی مورد بررسی را تشکیل می‌دهند. توده نفوذی جنوب غرب بیار جمند درون ماسه‌سنگ‌های پرکامبرین تزریق شده و ضمن ایجاد دگرگونی همبری ضعیف، آپوفیزهایی را به داخل آنها وارد کرده که همه‌ی آنها حاکی از جوانتر بودن نسبی این توده نسبت به این سنگ‌هاست. به واسطه تأثیر گرمای ناشی از تزریق توده، سنگ‌های فراگیر در محابوت بلافضل توده، در حد رخساره آلبیت اپیدوت هورنفلس دگرگون شده‌اند.

سنگ‌نگاری

براساس بررسی‌های سنگ‌نگاری توده نفوذی جنوب غرب بیار جمند از دو واحد اسیدی و حدواسط- مافیک تشکیل شده است که واحد اسیدی دارای ترکیب سنگ‌شناسی گرانیت و

را در مورد اینکه سنگ‌ها چگونه و تحت چه شرایطی متبلور شده‌اند، آشکار سازد. داده‌های مقاطع دو بعدی می‌تواند به آسانی از تصاویر میکروسکوپ الکترونی و مقاطع نازک به دست آید، اما تبدیل این اطلاعات به صورت سه بعدی، پیچیده و دشوار است. از آنجا که داده‌های CSD معمولاً یک توزیع لگاریتمی تقریبی دارند، بهترین روش برای استفاده از اندازه لگاریتمی فاصله‌ها، اندازه‌گیری طول و عرض است [۲۸، ۲۹]. به کمک این روش و با استفاده از شمارش و بررسی شکل دانه‌ها و پازسازی تصویر سه بعدی بلورها، می‌توان سرعت متوسط رشد، چگالی هسته‌بندي و سهم حجمی بلورها را محاسبه کرد. CSD یک روش تکمیلی فیزیکی برای بررسی‌های زمین‌شیمی و سنگ‌نگاری، و روشنی مطمئن برای بررسی ماکروسکوپیکی مانند سرعت فرایندهای فیزیکی تبلور است [۵]. به طور کلی می‌توان بیان کرد که CSD بررسی‌های سنگ‌نگاری را یک گام از کیفی بودن به سمت کمی شدن سوق داده است، و بر این اساس، روش اندازه‌گیری دانه‌ها در بلورها، مبنایی بر محاسبات سرعت و مدت رشد بلور است. داده‌های حاصل از بررسی‌های CSD معمولاً در قالب نمودارهایی نشان داده می‌شوند، که مهمترین آن‌ها نمودار لگاریتم طبیعی چگالی انباشتی بلور در برابر طول بلور است و خط حاصل از اتصال نقاط، CSD نامیده می‌شود [۳۰]. این نمودارها تغییرات فراوانی و اندازه بلورها را به صورت تابعی از زمان اقامت آن‌ها در سیستم توصیف می‌کنند. حالت آرمانی نمودارهای CSD خطوط صافی هستند، که انواع کلاسیک نام دارند. این خطوط معمولاً در اثر فرآیندهای فیزیکی فعال در حین تبلور از حالت خطی خارج شده و شبیه‌های متفاوتی را در طول خود نشان می‌دهند [۱۵، ۳۱، ۳۲] و بیشتر تفسیرهای مربوط به تاریخچه تبلور بر اساس این نمودار به دست می‌آیند. مقادیر شبیه و عرض در محور مختصات CSD، توسط واپاشی خطی با استفاده از روش‌های هگینس [۳۳] تعیین شده‌اند. در CSD، پارامتر Q (میزان انطباق)، بیانگر آن است که داده‌ها تا چه حد برای تولید CSDs به صورت یک خط مستقیم، قابل استفاده هستند. مقادیر Q بزرگتر از $Q > 1$ همخوانی خوبی با خط مستقیم نشان می‌دهند، البته مقادیر بزرگتر از $Q > 1$ نیز قابل قبول هستند [۳۴]. در حالی که مقادیر Q خیلی پایین باشند، CSDs‌ها دارای احنا خواهند بود. با توجه به جدول ۱، مقدار Q در همه نمونه‌ها بیشتر از $Q > 1$ است [۹۹] در نتیجه

بافت غالب در گرانودیبوریت‌ها دانه‌ای بوده و از نظر کانی‌شناسی بیشتر از کوارتز، پلازیوکلаз، فلدسپار پتاسیم، بیوتیت و آمفیبول نوع هورنبلند تشکیل شده‌اند. کوارتز با خاموشی موجی بیشتر به صورت بافت ریزدانه‌ای با فلدسپارها همرشدی نشان می‌دهند. پلازیوکلاز معمولاً به صورت خودشکل بوده و بیش از ۳۰ درصد حجم سنگ را به خود اختصاص داده است. این بلورها در برخی از نمونه‌ها دگرسان شده و به اپیدوت، سریسیت و کانی‌های رسی تبدیل شده‌اند. فلدسپار پتاسیم به صورت نیمه خودشکل تا بی‌شکل و میانگین اندازه آن حدود یک میلیمتر است. در برخی موارد این بلورها بافت پرتیتی دارند و یا به صورت میکروکلین با ماکل مشبك متبلور شده‌اند. این بلورها تحت تأثیر دگرسانی قرار گرفته و تا حدی به کائولینیت دگرسان شده‌اند. بیوتیت نیمه خودشکل و تا حدی متحمل دگرسانی به کلریت، اسفن و مانیتیت شده است. آمفیبول نیز خودشکل و از نوع هورنبلند سیز بوده و در برخی موارد به بیوتیت، کلریت و اپیدوت تبدیل شده است.

کانی‌های اصلی تشکیل دهنده سنگ‌های گابرودیبوریت و کوارتزمنزودیبوریت جنوب غرب بیار جمند شامل پلازیوکلاز، آمفیبول، بیوتیت و کوارتز هستند. بافت غالب در این سنگ‌ها دانه‌ای است. پلازیوکلاز به صورت خودشکل تا نیمه خودشکل است و بیش از ۴۰ درصد از حجم سنگ را به خود اختصاص داده است (شکل ۳). پلازیوکلازها در برخی موارد دارای ماکل پلی‌سننتیک است و در برخی موارد ساختمان منطقه‌ای دارند. این کانی‌ها تحت تأثیر دگرسانی قرار گرفته و به سریسیت، کلسیت و اپیدوت دگرسان شده‌اند. آمفیبول به صورت نیمه خودشکل و به نسبت سالم است، در حدود ۲۰ تا ۴۰ درصد از حجم سنگ را تشکیل می‌دهد و در بعضی موارد به اپیدوت یا بیوتیت تبدیل شده است. بیوتیتها نیمه خود شکل هستند و تا حدی به کلریت، اسفن و مگنتیت تبدیل شده‌اند. کوارتز و فلدسپار قلیایی نیز به صورت بی‌شکل در بین سایر کانی‌ها دیده می‌شود. فلدسپارهای قلیایی حدود ۱۰ درصد از حجم سنگ را تشکیل می‌دهند در حالی که کوارترها سهم اندکی دارند. تبلور این دو کانی در بین سایر کانی‌ها بیانگر تبلور آنها در مراحل نهایی انجامد ماجمایی است.

بحث

توزیع اندازه بلور به صورت کمی جمعیت بلور در سنگ را نشان می‌دهد [۱۱، ۱۲، ۱۴]، و بررسی آن می‌تواند اطلاعات بسیاری

می‌شوند که از فرمول $n = dn/dl$ نیز به دست می‌آید، که در آن dn تعداد بلورها و dl اندازه بلورهاست. این توزیع روی یک نمودار $\ln[n_i(L)]$ بر حسب اندازه (L)، به صورت خطی است. عرض از مبدأ آن برابر با $\ln(n_{i0})$ و شیب آن برابر با $-1/C_i$ است.

باتوجه به رابطه (۱)، بلورهای فلدسپار حجم‌های مختلفی از ۱۱ تا ۳۹ درصد از کل سنگ را به خود اختصاص داده‌اند. زمان رشد و سرعت هسته‌بندی، رابطه مستقیمی با درصد سهم حجمی دارند. به این معنی که هرچه سرعت هسته‌بندی و زمان رشد بلورها افزایش یابد، بلور فضای بیشتری از کل سنگ را به خود اختصاص خواهد داد و از طرفی هرچه نرخ هسته‌بندی کمتری و مدت زمان رشد بلور بیشتر باشد، بلورهای دانه درشت‌تر خواهند بود. ولی این شرط به تنها یکی کافی نیست و ترکیب شیمیایی نیز باید اجاره این رشد را به بلور بدهد. با توجه به این که در این مطالعه بلورهای فلدسپار مورد بررسی قرار گرفته‌اند، ترکیب شیمیایی نمونه‌های گرانیتی بهوژه سینوگرانیت‌ها (نمونه‌های KD8 و KE2) برای رشد فلدسپارها مساعد هستند و نمونه‌های مونزوگرانیتی و گرانودیوریتی (KD11 و KE4، KE3) در اولویت بعدی قرار می‌گیرند. نمونه کوارتز مونزوگرانیتی (KD6) نیز سهم حجمی ۱۰/۹۵ را به خود اختصاص داده است (جدول ۱).

در نمودار طول مشخصه نسبت به درصد حجمی (شکل ۴)، نمونه کوارتز مونزوگرانیتی نسبت به سایر نمونه‌ها دارای طول مشخصه کمتری است و با توجه به مدل مارش [۱۱] می‌توان نتیجه گرفت که زمان اقامت یا زمان رشد نمونه کوارتز مونزوگرانیتی نسبت به بقیه نمونه‌های گرانیتی و گرانودیوریتی کمتر است. از طرفی، عرض از مبدأ بیشتر و فقدان بلورهای بزرگ در نمونه کوارتز مونزوگرانیتی بیانگر آن است که هسته‌بندی اهمیت تاحدودی بیشتری نسبت به رشد در نمونه کوارتز مونزوگرانیتی داشته است (جدول ۱) که این امر احتمالاً بر اثر افزایش اشباع‌شده بوده است [۳۵]. ورود ماگمای جدید فاقد بلور به مخزن ماگمایی می‌تواند باعث فوق اشباع شدن و افزایش هسته‌بندی ماگما شود و در نتیجه در نمودارهای CSD به صورت شکستگی ظاهر می‌شود.

نمودار عرض از مبدأ نسبت به طول مشخصه (شکل ۵ الف) مرزهای مختلف محدوده محصور شده (Closure limit) (محدوده‌ای که اگر نمونه‌ها در داخل آن

شکل نمودارها به خط مستقیم نزدیکتر است. طول مشخصه (متوسط طول کل بلورها در یک CSD مستقیم) (C_i یا L_D) از ۰/۱۴ تا ۰/۲۵ تغییر می‌کند و عرض از مبدأ (چگالی هسته‌بندی اولیه) در گسترهای از ۲/۹۷ تا ۴/۰۷ قرار گرفته است. متوسط سهم حجمی فلدسپار در نمونه کوارتز مونزوگرانیتی ۱۰/۹۵ است و در گرانیت‌ها و گرانودیوریت‌ها در گسترهای ۰/۲۰۶۵ تا ۰/۳۹۲٪ تغییر می‌کند.

سهم حجمی

سهم حجمی کانی در یک سنگ برابر است با مساحت بلور در هر مقطع [۳۴] به طوری که بافت و جهت‌گیری در آن نقشی ندارد. سهم حجمی، میزان حجم اشغال شده توسط مجموع بلورهای فلدسپار است که می‌توان توسط نرم افزار JMicroVistion و یا با استفاده از محاسبات ریاضی که در فرمول (۱) خلاصه شده است، با استفاده از نرم افزار Excel به دست آورد (جدول ۱).

$$(1) \quad V_i = 6\delta n_{i0} C_i^4$$

در معادله بالا، V_i هم سهم حجمی فاز i ، n_{i0} چگالی هسته‌بندی نهایی فاز i و C_i مقدار ثابتی است که طول مشخصه (شیب $-1/C_i$) را بیان می‌کند و برابر است با متوسط طول کل بلورها در یک CSD مستقیم، که برای همه اندازه‌های بلوری بسط داده می‌شود [۱۱] و از صفر تا اندازه بینهایت ادامه دارد. طول مشخصه هر CSD از رابطه (شیب $-1/C_i$) محاسبه می‌شود. در این معادله δ عامل شکل فاز i است که طبق رابطه زیر برای نمونه‌ها برابر با $0/۱۹۰$ به دست آمده است.

$$(2) \quad \delta = [1 - \Omega(1 - \pi/6)]IS/L^2$$

در این فرمول Ω ، عامل گردشگی است که از صفر برای متوازی السطوح تا یک برای بیضی سه محوره متغیر است. این تعریف با عامل گردشگی که در مرجع [۲۰] بیان شده است، همخوانی دارد و برای همه نمونه‌ها $\Omega = 0/6$ در نظر گرفته شد. S ، I و L ترتیب ابعاد (یا محورهای) کوتاه، متوسط و بلند متوازی السطوح یا بیضی هستند.

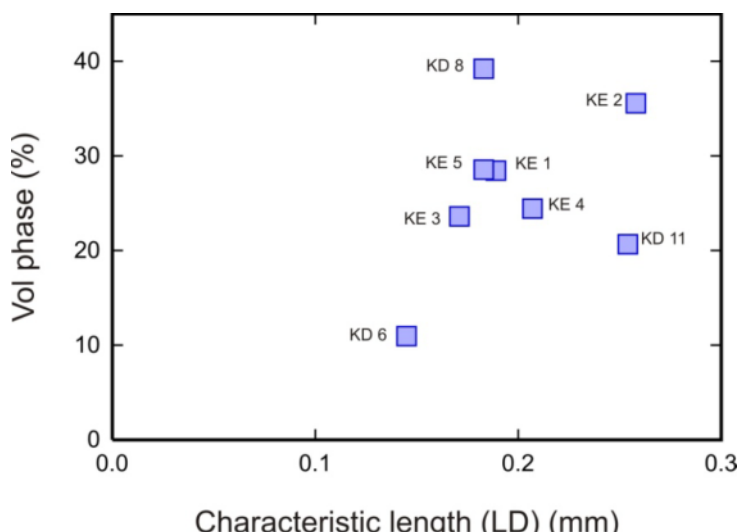
مارش، نشان داد که CSDs در بسیاری از سیستم‌های ماگمایی ساده متوسط معادله زیر توصیف می‌شود [۱۱]:

$$(3) \quad N_i(L) = n_{i0} e^{-L/C_i}$$

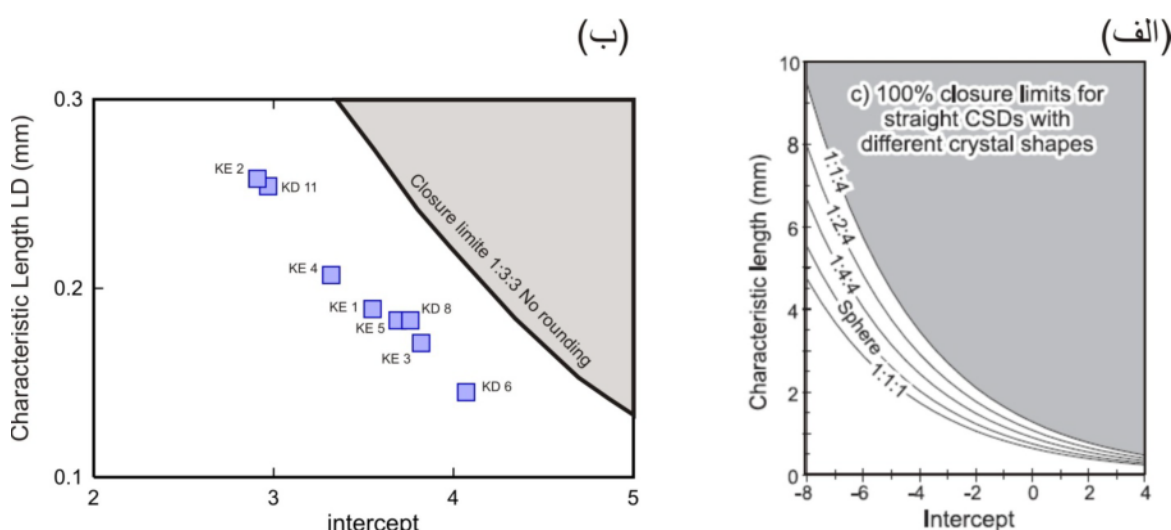
در این رابطه ($N_i(L)$ ، چگالی انباشتی بلورهای فاز i برای اندازه L است. چگالی انباشتی عبارت است از تعداد بلورها با اندازه‌های مشخص که در فواصل معین (بر حسب mm) یافت

مستقیم باشد [۲۱]. CSD‌های مستقیم روند کلی تبلور مگما را نشان می‌دهند و شبیه منفی این نمودارها، ناشی از افزایش رشد همراه با کاهش هسته‌بندی، افزایش اندازه بلورها، کاهش چگالی انباسته و افزایش زمان است. در حالی که اگر هسته‌بندی با زمان افزایش می‌یافتد، شبیه نمودار مثبت می‌شود. شکل ۵ ب نیز موقعیت نمونه‌های مورد بررسی را روی این نمودار نشان می‌دهد. چنانکه دیده می‌شود با اینکه نمونه‌ها دور از محدوده محصور شده هستند و نمی‌توانند در بخش خاکستری رنگ قرار بگیرند، به خط مستقیم نزدیکترند و یک همبستگی شدید بین L_D و عرض از مبدأ وجود دارد.

واقع شوند دارای CSD منحنی شکل هستند و چنانچه در خارج از آن قرار گیرند CSD مستقیم خواهد داشت) را برای CSDs‌های مستقیم با شکل‌های بلوری مختلف نشان می‌دهد. به طوری که CSD‌های مستقیم تنها می‌توانند در زیر این خط وجود داشته باشند. چنانکه مشخص است موقعیت این خط برای شکل‌های بلوری مختلف فرق می‌کند. در اینجا فرض می‌شود که بلورها کامل حجم را پر کرده‌اند. محدوده‌های محصور شده برای هر شکل بلوری یک خمیدگی را وصف می‌کند. CSDs‌های مستقیم تنها می‌توانند در زیر این خط موجود باشند و در بالای این محدوده CSD نمی‌تواند به صورت



شکل ۴ موقعیت نمونه‌ها روی نمودار طول مشخصه (برحسب mm) نسبت به درصد حجمی فلدسپار.



شکل ۵ الف: محدوده‌های محصور شده برای شکل‌های بلوری مختلف در نمودار عرض (از مبدأ) نسبت به طول مشخصه (برحسب mm)، مربع‌ها نماینده CSDs‌های تقریباً مستقیم هستند. ب: موقعیت نمونه‌ها در نمودار عرض (از مبدأ) نسبت به طول مشخصه (برحسب mm)، مربع‌ها نماینده CSDs‌های تقریباً مستقیم هستند.

$$\tau = C_i / S \quad (4)$$

که G در آن سرعت رشد و τ زمان رشد بلورهاست. عرض از مبدأ این خط یا نقطه تقاطع آن با محور چگالی انباشتی نیز برابر با چگالی هسته‌بندی اولیه (n^0) است (عرض از مبدأ = $\ln(n^0)$). رابطه مستقیم لگاریتمی، مربوط به تبلور پیوسته و یکنواخت است که توسط سرعت رشد نسبتاً ثابت ایجاد می‌شود و اندازه بلور نیز تأثیری بر آن ندارد. سرعت هسته‌بندی (J) در $t = 0$ را نیز می‌توان از نمودار CSD و بر پایه معادله زیر محاسبه نمود [۵]

$$J = n^0 G = \ln(n^0) \quad (5)$$

براساس محاسبات انجام شده، گرچه نمونه‌ها از نظر ترکیب شیمیایی به هم نزدیک هستند ولی مدت رشد آنها دارای گستره نسبتاً بزرگ ۴۹ تا ۸۲ سال است. به طوری که واحدهای اسیدی همگرایی خوبی دارند و مدت رشد ۵۴،۲۹ تا ۸۱،۹۳ سال و واحد کوارتز مونزودیوریتی ۴۶،۰۸ سال را نشان می‌دهند. این اختلاف رشد در نتیجه اختلاف در نرخ هسته‌بندی و سرعت سرد شدن است. عوامل زیادی از جمله سرعت بروونریزی گذاره (نفوذ ماگما)، ستبرای واحد، مدت ماندگاری در آشیانه ماگمایی و ترکیب شیمیایی در چگونگی سرد شدن دخالت دارند.

تحولات ماگمایی

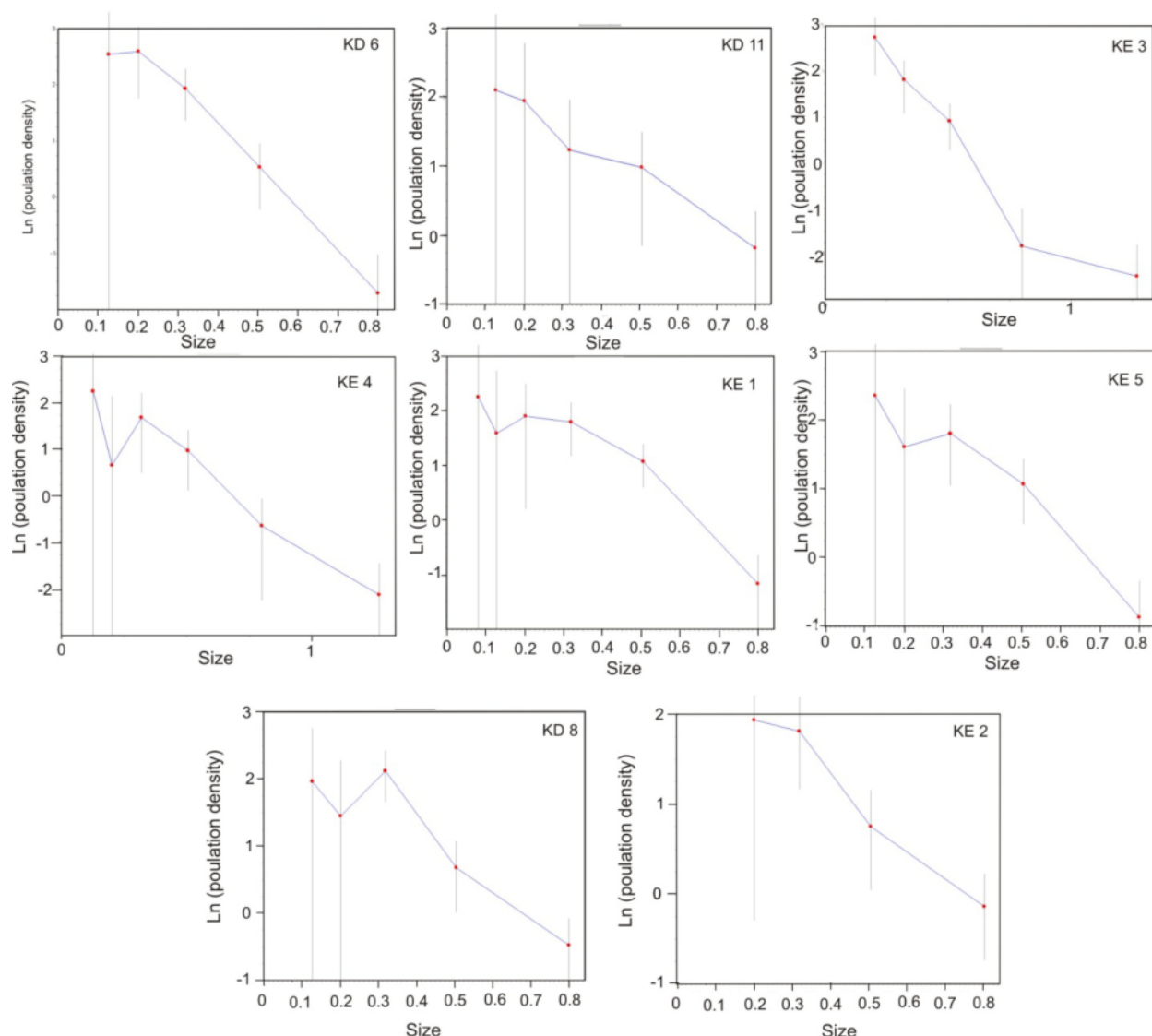
در بررسی نمودارهایی به دست آمده از نرم افزار CSD همه نمونه‌ها شکستگی و انحنا نشان می‌دهند و از روند عادی تبلور پیروی نمی‌کنند (شکل ۶). وجود شکستگی و انحنا در نمودارها نشان دهنده آلودگی و تغییرات ماگمایی است که می‌تواند با ورود یک ماگمای جدید به مخزن ماگمایی در حال تبلور و اختلاط ماگمایی رخ داده باشد [۳۶]. این واحدها در بررسی‌های صحرایی دارای زینولیت‌های از سنگ میزبان هستند که باعث آلودگی این سنگ‌ها شده است. همچنین بافت پوئی‌کیلیتیک و پلازیوکلاز منطقه می‌تواند حاکی از اختلاط ماگمایی در منطقه باشد. در نمودار Rb/Sr نسبت به $[Rb/Sr]$ مشاهده می‌شود که میزان Rb روند افزایشی ملایمی دارد که می‌تواند به دلیل افزایش Sr موجود در ماگمای ورودی جدید و بیانگر فرآیند اختلاط در سنگ‌های مورد بررسی باشد (شکل ۷).

مدت رشد و سرعت هسته‌بندی

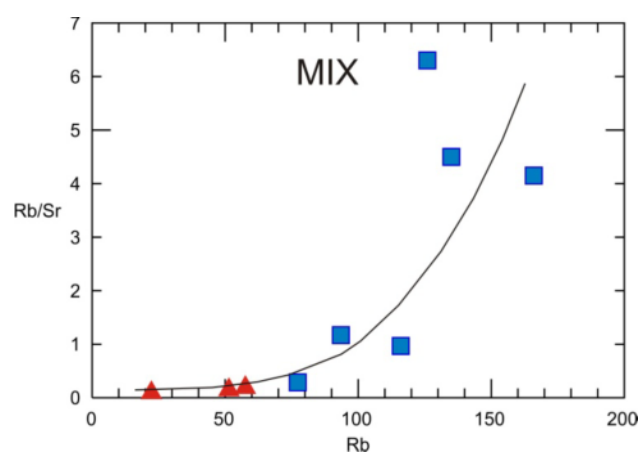
مشخصه‌هایی مانند اندازه بلور، تعداد بلور و زمان تبلور به سرعت رشد و هسته‌بندی وابسته‌اند. در عین حال توزیع اندازه‌بلور ($CSDs$) یک بینش اساسی و مورد زمان تغییرات هسته‌بندی و رشد و همچنین سیستم‌های ماگمایی پویا را در اختیار ما قرار می‌دهد [۱۱]. کاهش هسته‌بندی با افت گذاره، در CSD ، در زمان‌های پایانی انجامد با یک کاهش شدید در چگالی انباشتی (به خاطر اندازه‌های بلوری کوچک)، مشخص می‌شود. در شرایط عادی با رشد بلورها و بزرگتر شدن اندازه آنها، هسته‌بندی و چگالی انباشتی کاهش می‌یابد و CSD دارای شب منفی خواهد بود، اما در اثر ورود یک ماگمای جدید به مخزن ماگمایی و اختلاط ماگمایی، اشباع شدگی در نتیجه هسته‌بندی و انباشتی در اثر متبلور شدن بلورهای دانه ریز، چگالی افزایش می‌یابد که این امر باعث ایجاد شب مثبت و شکستگی در CSD می‌شود. اندازه بلوری در اصل نتیجه هسته‌بندی ناهمگن و سریع، اضافه شدن پی در پی دانه و مهاجرت مرز دانه‌ها است.

با اندازه‌گیری ابعاد بلور می‌توان به سرعت و مدت رشد بلور بی برد. اگر هسته بندی بلورها نسبت به زمان متفاوت باشد، گستره متنوعی از اندازه بلورها را در سنگ می‌توان مشاهده نمود. به علاوه برای سرعت‌های رشد مشابه، زمان اقامت طولانی‌تر منجر به رشد بلورهای بزرگتر می‌شود. از این رو یک تغییر در شب CSD با عرض از مبدأ یکسان ایجاد می‌شود. با مشخص بودن سرعت رشد بلور و شب منفی نمودار CSD ، می‌توان زمان اقامت را با استفاده از معادله (۴) محاسبه کرد. براساس نتایج کاشمن [۱۳] مقدار سرعت رشد برای نمونه‌ها 10^{-10} mm/s محاسبه شده است. با توجه به این سرعت رشد و شب منفی CSD ، مدت زمان رشد برای کوارتز مونزودیوریت ۴۶،۰۸ و بیشترین مقدار آن برای نمونه‌های گرانیتی ۸۱،۹۳ سال محاسبه شده است (جدول ۱). سرعت رشد تأثیر چندانی بر زمان سرد شدن ندارد.

اگر نمودار فراوانی لگاریتمی بلورها نسبت به اندازه دانه‌ها (بر حسب میلی‌متر) رسم شود، یک رابطه لگاریتمی خطی-توزیعی با افزایش اندازه دانه‌ها به دست می‌آید (شکل ۶) و شب این خط (S) برابر است با



شکل ۶ نمودارهای لگاریتمی چگالی ابشاری بر حسب اندازه دانه‌ها برای نمونه‌های مورد بررسی. KD11، KE4، KD8، KE2، KE3، KE5: گرانیت. KD6: کوارتز مونزودیوریت. KD11: گرانو دیوریت.



شکل ۷ روند افزایشی Rb/Sr نسبت به Rb، که می‌تواند بیانگر فرایند اختلاط در سنگ‌های منطقه باشد [۳۷].

کرده‌اند و به صورت دایک‌ها و انکلاوهای برجای مانده‌اند. ایشان همچنین عملکرد فرآیند جدایش را برای تحولات ماقمایی نتیجه گرفت. ته نشست بلوری و جدایش می‌تواند عامل ایجاد بی نظمی و انحنا در بعضی از نمودارها باشد [۵]. نمونه KE3 نیز شکستگی هم روند را نشان می‌دهد که می‌تواند به عنوان اختلاط ماقمای همجنسب تفسیر شود [۴۳].

با توجه به نمودارهای Rb/Sr [۳۸]، Sr/Sr* و Eu/Eu نسبت به Sr [۴۰] به نظر می‌رسد که جدایش پلازیوکلاز عامل مهمی در تاریخچه تحولات سنگ‌های ماقمایی منطقه بوده است (جدول ۲، شکل ۸) [۴۱]. به علاوه حسینی [۴۲] چندین مرحله تزریق ماقمایی را در منطقه شناسایی کرده است که در مواردی سنگ‌های یک فاز، سنگ‌های فاز قبلی را در بر گرفته و گاهی نیز مجموعه قبلی را قطع

جدول ۲ نتایج بررسی زمین‌شیمی سنگ‌های توده نفوذی بیارجمند.

نمونه	گرانوپورت KD6	گرانوپورت KD10	دبورست KE5	گرانوپورت KD11	گرانوپورت KE9	گرانوپورت KE4	گرانوپورت KE11	گرانوپورت KD8	گرانوپورت KD9
SiO ₂	۳۵.۰	۴۵.۴	۵۵.۶	۵۶.۹	۲۷.۳	۲۷.۴	۵۷.۴	۷۵	۷۶
TiO ₂	۴۶.۰	۷.۰	۹۱.۰	۳۲.۰	۱۱.۰	۱۳.۰	۰.۴.۰	۰.۳.۰	۰.۴.۰
Al ₂ O ₃	۷۱.۸	۱۵	۶۱.۵	۱۲	۷.۱۲	۴.۱۲	۲.۱۱	۷.۱۱	۱۲
FeO	۷۶.۴	۶۱.۵	۰.۱۵	۱۱۲	۷۴.۰	۱.۱	۵۸.۰	۳۹.۰	۵۲.۰
Fe ₂ O ₃	۸۷.۱	۸.۲	۴۸.۲	۴۱.۱	۶۵.۰	۹۴.۰	۵۱.۰	۳۶.۰	۵.۰
MnO	۱۲.۰	۲۱.۰	۱۸.۰	۰.۸.۰	۰.۲.۰	۰.۵.۰	۰.۲.۰	×	×
MgO	۶۲.۵	۹۷.۳	۷۳.۳	۶۶.۰	۲.۰	۲۲.۰	۱۴.۰	۰.۵.۰	۰.۷.۰
CaO	۱.۰	۱۸.۷	۱۹.۷	۷۲.۲	۹۸.۰	۲۴.۱	۴۴.۰	۲۸.۰	۶۷.۰
Na ₂ O	۷.۱	۶.۲	۴.۲	۵.۳	۵.۳	۳.۳	۴.۳	۳.۳	۳.۳
K ₂ O	۶۴.۰	۲۸.۱	۳۲.۱	۹۵.۱	۱۸.۴	۰.۸.۴	۱۳.۴	۷.۴	۹۶.۴
P ₂ O ₅	۰.۸.۰	۱۶.۰	۱۹.۰	۰.۸.۰	۰.۴.۰	۰.۳.۰	۰.۱.۰	×	×
loi	۶۱.۱	۴۹.۱	۶۹.۱	۷۱.۰	۴۵.۰	۵۴.۰	۳۶.۰	۴۷.۰	۳۱.۰
Sum	۵.۹۶	۱.۹۶	۸.۹۷	۳.۹۶	۹.۹۶	۳.۹۸	۵.۹۵	۴.۹۶	۴.۹۸
Ba	۱۶.۰	۳۲.۰	۳۳.۰	۴۹.۰	۷۸.۰	۷۴.۰	۳۳.۰	۶۷.۰	۹.۰
Rb	۳.۲۲	۶۵۷	۴۵۱	۳۷۷	۵۹۳	۱۱۶	۱۲۶	۱۶۶	۱۳۵
Sr	۲۵.۰	۳۱.۰	۳۶.۰	۲۷.۰	۸.۰	۱۲.۰	۲.۰	۴.۰	۳.۰
Zr	۱۶۷	۳۹۱	۸.۷۴	۱۷۷	۱.۷۸	۱.۰۲	۸.۷۰	۵۶۰	۸۶۳
Nb	۲	۶	۵	۱۱	۵	۸	۷	۷	۱۲
Ni	۳.۰	۲۲	۲۰	۱۶	۶	۴۹	۸	۱.۰	۵۸
Co	۵۲۹	۲۲	۱.۲۱	۵.۴	۵.۱	۷.۱	۷.۰	۶.۰	۹.۰
Zn	۶.۰	۱۳۲	۱۵۴	۶.۰	۱۳	۳۴	۱۸	۱.۰	۱۳
La	۱.۱۳	۱.۱۳	۱.۱۴	۶۱.۸	۳۲	۴۲.۰	۱.۱۱	۷.۱۶	۴.۱۲
Ce	۴.۲۶	۵۲۲	۲۲.۸	۵۲۲	۵۶۷	۲۵۷	۵۲۳	۷۳۰	۱۲۵
Pr	۲۹.۳	۶۷.۴	۶۷.۳	۲۱.۴	۵۷.۷	۵۱.۶	۸۴.۲	۸۵۳	۶۹.۳
Nd	۱.۱۳	۷.۱۹	۲.۱۵	۶.۱۶	۲.۲۷	۸.۲۳	۴.۱۱	۹.۱۴	۱.۱۶
Sm	۰.۲	۷.۴	۲۳	۰.۴	۸.۴	۶۴	۹.۲	۴۳	۵۵
Eu	۶۳.۰	۱۳.۱	۹۵.۰	۱	۶۷.۰	۶۹.۰	۲۸.۰	۳۷.۰	۲۲.۰
Gd	۵۳.۲	۸۶.۴	۲۹.۳	۵۳.۵	۰.۱۴	۵۷.۴	۲۷.۳	۸۲۳	۶۶.۶
Tb	۴۱.۰	۷۷.۰	۴۸.۰	۱	۵۶.۰	۷۶.۰	۵۵.۰	۶۶.۰	۱۷.۱
Dy	۳۵۲	۷۹.۴	۷۸.۲	۰.۹۶	۵۲.۳	۹۴.۴	۵۵.۳	۱۱.۴	۳۹.۷
Ho	۵۳.۰	۰.۱۱	۶۱.۰	۳۲.۱	۷.۰	۰.۵۱	۷۵.۰	۸۹.۰	۵۸.۱
Er	۵.۱	۰.۵۳	۷۴.۱	۸۱.۳	۱.۲	۲۸.۳	۲۵۲	۵۹.۲	۵۵.۴
Tm	۲۲.۰	۴۴.۰	۲۴.۰	۵۴.۰	۳۱.۰	۵۱.۰	۳۶.۰	۳۷.۰	۶۷.۰
Yb	۴.۱	۲۳	۸.۱	۵.۳	۲	۵.۳	۴.۲	۷.۲	۵.۴
Lu	۱۹.۰	۴۸.۰	۲۴.۰	۴۹.۰	۲۷.۰	۵.۰	۳۹.۰	۳۶.۰	۶۱.۰
Y	۴.۱۳	۲۲.۹	۴.۱۵	۹.۳۵	۲.۱۹	۱.۳۰	۲.۲۰	۹.۲۳	۹.۴۲
Cs	۸.۲	۷.۰	۷.۰	۴.۳	۱	۵.۱	۶.۱	۱	۹.۰
Hf	۵	۳	۲	۵	۳	۴	۳	۳	۴
Ga	۱۹	۱۹	۱۸	۱۸	۱۶	۱۵	۱۵	۱۵	۱۸
Sn	×	۲	۴	۳	۲	۱	۲	۲	×
Th	۳۳	۲۴	۷.۲	۸.۶	۲.۱۱	۳.۱۴	۴.۷	۳.۱۱	۱.۱۸
U	۵۳.۰	۴۶.۱	-۳.۱	۴۸.۲	۱۸.۱	۴	۶۴.۱	۴۹.۲	۸۲.۳
V	۱۷۵	۲۱.۰	۲۱۱	۳۶	۱۲	۱۴	۱۱	۱۳	۱۱
Cu	۳۳	۲۶	۱۴	۸	۸	۱۹۶	۸	۶	۱۷۸
K ₂ O/Na ₂ O	۳۷.۰	۴۹.۰	۵۵.۰	۵۵.۰	۱۹.۱	۲۲.۱	۲۱.۱	۴۲.۱	۵۱

xEu/Eu

۷۵.۰

۷۱.۰

۸۸.۰

۶۱.۰

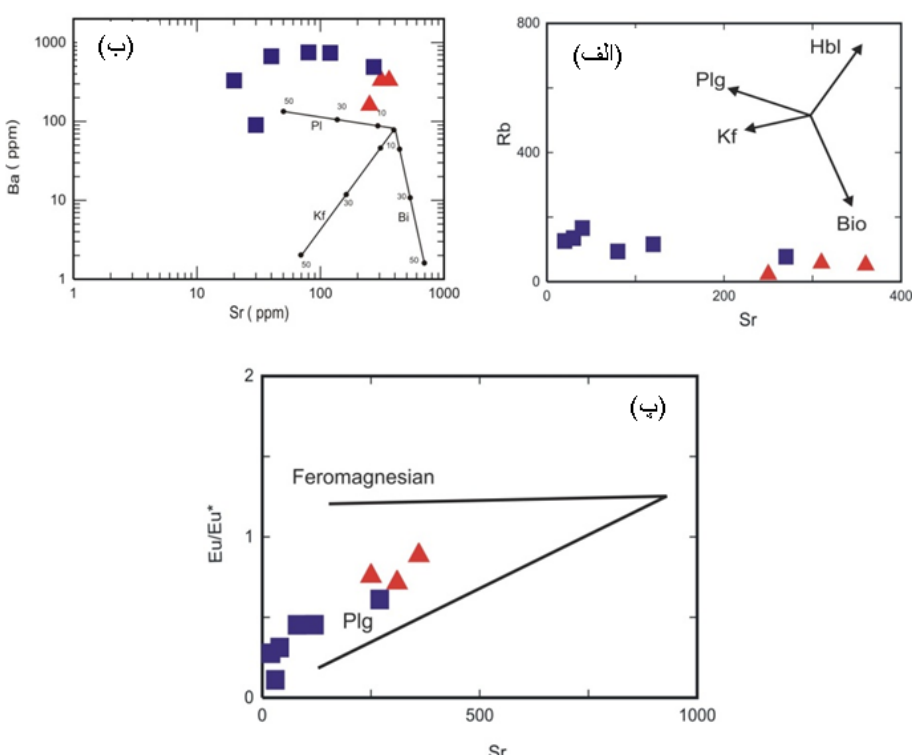
۴۵.۰

۴۵.۰

۲۷.۰

۳۱.۰

۱۱.۰



شکل ۸ الف: نمودار Rb نسبت به Sr [۳۹]. ب: نمودار Ba نسبت به Sr [۳۸]. پ: نمودار Eu/Eu* نسبت به Sr [۴۰].

ماگمایی و زینولیت‌های سنگ میزبان و فرآیند جدایش از مهمترین فرآیندهای تکامل ماگمایی هستند که باعث ایجاد شکستگی و کمی انحنا در نمودارهای CSD شده است. نمونه KE3 نیز شکستگی هم روند را نشان می‌دهد که می‌تواند به عنوان اختلاط ماگمای همجنس تفسیر شود.

قدردانی

این پژوهش حاصل طرح تحقیقاتی "پترولوزی و ژئوشیمی تووده نفوذی جنوب کیکی" است که با حمایت مالی معاونت محترم پژوهشی دانشگاه تهران انجام شده است لذا بدین وسیله از همکاری ارزنده آن معاونت محترم قدردانی می‌گردد. به جاست مؤلفین از هیئت تحریریه و داوران محترم مجله بلورشناسی و کانی شناسی ایران نیز سپاسگزاری نمایند.

مراجع

- [۱] نبوی م.ح، "دیباچه‌ای بر زمین‌شناسی ایران"، سازمان زمین‌شناسی و اکتشافات معدنی کشور، (۱۳۵۵) ص ۱۰۹.
- [۲] Hassanzadeh J., Stockli D., Horton B., Axen G., Stockli L., Grove M., Schmitt A., Walker J., "U-Pb zircon geochronology of late Neoproterozoic-Early Cambrian granitoids in Iran: Implications for paleogeography,

برداشت

براساس جمع‌بندی اطلاعات به دست آمده از بررسی‌های صحرایی، سنگنگاری و نتایج بررسی‌های CSD نمونه‌های گرانیتوئیدی جنوب غرب بیار جمند، نتایج زیر به دست آمده است:

- سهم حجمی متفاوت بلورهای فلدسپار از ۱۰/۹۵ درصد در کوارتز مونزودیوریت تا ۳۹/۲ درصد در گرانیت بیانگر شرایط انجماد و ترکیب شیمیایی متفاوت است.
- با توجه به سرعت رشد و شیب نمودارهای CSDs، نمونه‌ها در بازه‌های زمانی متفاوتی رشد کرده‌اند. زمان رشد بلور در سنگ‌های گرانیتی و گرانودیوریتی ۵۴/۲۹ تا ۸۱/۹۳ سال و سنگ‌های کوارتز مونزودیوریتی ۴۶/۰۸ سال برآورد شده است.
- سرعت هسته‌بندی در کوارتز مونزودیوریتها بیشترین مقدار و در گرانودیوریت و گرانیت‌ها کمترین مقدار را دارد است به همین دلیل بلورهای موجود در کوارتز مونزودیوریتها نسبت به گرانیت‌ها دانه ریزتر هستند که این مسئله نشانگر اهمیت شرایط مختلف فیزیکی حاکم بر انجماد ماگما است.

- در بررسی نمودارهای به دست آمده از نرم افزار CSD همه نمونه‌ها شکستگی و انحنا دارند و از روند عادی تبلور پیروری نمی‌کند. انباشت بلوری، آلوگی به وجود آمده از اختلاط

- Nevada*", Journal of Volcanology and Geothermal Research 68(4) (1995) 273–296.
- [15] Higgins M.D., "Verification of ideal semi-logarithmic, lognormal or fractal crystal size distributions from 2D datasets", Journal of Volcanology and Geothermal Research 154(2006a) 8-16.
- [16] Higgins M.D., Roberge, J., "Crystal size distribution (CSD) of plagioclase and amphibole from Soufriere Hills volcano, Montserrat: evidence for dynamic crystallisation/textural coarsening cycles", Journal of Petrology 44 (2003) 1401–1411.
- [۱۷] مسعودی ف، منفرדי ب، "تخمین زمان رشد و سرعت هسته‌بندی پلاژیوکلازهای واحد آندزی بازالت در منطقه چهار گنبد، شمال شرق سیرجان با روش توزیع اندازه بلور (CSD)"، پانزدهمین همایش بلورشناسی و کانی‌شناسی ایران، (۱۳۸۶).
- [۱۸] مسعودی ف، منفرדי ب، "کاربرد روش (CSD) برای تعیین سهم حجمی بلورهای پلاژیوکلاز آندزی بازالت‌های منطقه جاجرم، دومین همایش تخصصی زمین‌شناسی دانشگاه پیام نور، (۱۳۸۷).
- [19] Jackson E.D., "Primary textures and mineral associations in the ultramafic zone of the Stillwater complex, Montana", US Geological Survey Professional Paper 358 (1961) 106.
- [20] Higgins M.D., "Measurement of crystal size distributions", American Mineralogist 85(2000) 1105–1116.
- [21] Higgins M.D., "Closure in crystal size distributions (CSD), verification of CSD calculations, and the significance of CSD fans", American Mineralogist 87 (2002a) 171–175.
- [22] Higgins M.D., "Determination of crystal morphology and size from bulk measurements on thin sections: numerical modeling", American Mineralogist 79 (1994) 113–119.
- [۲۳] رحمتی ایلخچی م، ندیمی ح، سهندی م، بهره‌مند م، "تهیه نقشه زمین‌شناسی ۱:۱۰۰۰۰ رزوه، سازمان زمین‌شناسی کشور، (۱۳۸۲).
- [۲۴] حاجی حسینی ع، قاسمی ا، کریمی‌نیا س، سعیدی ا، "تهیه نقشه زمین‌شناسی ۱:۱۰۰۰۰ بسطام، سازمان زمین‌شناسی و اکتشافات معدنی کشور، (۱۳۸۲).
- [۲۵] افتخار نژاد خ، آقاباتی ع، "تهیه نقشه زمین‌شناسی افتخار نژاد خ، آقاباتی ع، "تهیه نقشه زمین‌شناسی ۱:۲۵۰۰۰ جاجرم، سازمان زمین‌شناسی کشور، (۱۹۹۲).

- magmatism, and exhumation history of Iranian basement", Tectonophysics 451 (2008) 71–96.*
- [3] Seaman S.J., "Crystal Clusters, Feldspar Glomerocrysts, and Magma Envelopes in the Atascosa Lookout Lava Flow, Southern Arizona, USA: Recorders of Magmatic Events", Journal of Petrology 41 (2000) 693–716.
- [4] Higgins M.D., "Origin of anorthosite by textural coarsening: Quantitative measurements of a natural sequence of textural development", Journal of Petrology 39 (1998) 1307–1325.
- [5] Marsh B.D., "On the interpretation of Crystal Size Distributions in magmatic systems", Journal of Petrology 39 (1998) 553–600.
- [6] Jerram D.A., Higgins M.D., "3D Analysis of rock textures: quantifying igneous microstructures", Elements 3 (4) (2007) 239–245.
- [7] Rowe T., Kappelman J., Carlson W.D., Ketcham R.A., Denison C., "High-resolution computed tomography; a breakthrough technology for earth scientists", Geotimes 42 (1997) 23–27.
- [8] Jerram D.A., Mock A., Davis G.R., Field M., Brown R.J., "3D crystal size distributions: A case study on quantifying olivine populations in kimberlites", Lithos 112S (2009) 223–235.
- [9] Hezel D.C., Elangovan P., Viehmann S., Howard L., Abel R.L., Armstrong R., "Visualization and quantification of CV chondrite petrography using micro-tomography", Geochimica et Cosmochimica Acta 116 (2013) 33–40.
- [10] Cashman K.V., "Textural constraints on the kinetics of crystallization of igneous rocks", In Mineralogical Society of America Reviews in Mineralogy 24 (1990) 259–314.
- [11] Marsh B., "Crystal size distribution (CSD) in rocks and the kinetics and dynamics of crystallization", I. Theory. Contributions to Mineralogy and Petrology 99 (1988) 277–291.
- [12] Cashman K.V., Marsh B.D., "Crystal size distribution (CSD) in rocks and the kinetics and dynamics of crystallisation II. Makaopuhi lava lake", Contributions to Mineralogy and Petrology 99 (1988) 292–305.
- [13] Cashman K.V., "Relationship between plagioclase crystallisation and cooling rate in basaltic melts", Contributions to Mineralogy and Petrology 113 (1993) 126–142.
- [14] Resmini R.G., Marsh B.D., "Steady-state volcanism, paleoeffusion rates, and magma system volume inferred from plagioclase crystal size distributions in mafic lavas; Dome Mountain,

- [35] Higgins M.D., Roberge J., "Three magmatic components in the 1973 eruption of Eldfell volcano, Iceland: evidence from plagioclase crystal size distribution (CSD) and geochemistry", *Journal of Volcanology and Geothermal Research* 161 (2007) 247–260.
- [36] Randolph A.D., Larson M.A., "Theory of Particulate Processes", second edition, New York, Academic Press (1988) 369 pp.
- [37] Xisheng Xu., Chun Wan D., Wuxian L., Xinmin Z., "Late Mesozoic intrusive complexes in the coastal area of Fujian SE China: the significance of the gabbro-diorite-granite association", *Lithos* 46 (1999) 299–315.
- [38] Hanson G.N., "The application of trace elements to the petrogenesis of Igneous rocks of granitic composition", *Journal of Earth and Planetary Science Letters* 38 (1) (1978) 26–43.
- [39] EL-Nisr S.A., EL-Sayed M.M., Saleh G.M., "Geochemistry and petrogenesis of Pan-African late- to postorogenic younger granitoids at Shalatin-Halaib, south Eastern Desert, Egypt", *Journal of African Earth Sciences* 33 (2001) 261–282.
- [40] Chen B., Jahn B.M., Ye K., Liu J.B. "Cogenetic relationship of the Yangkou gabbro-to-granite unit, Su-Lu terrane", *J. Geol. Soc. London* 159 (2002) 457–467.
- [۴۱] کاظمی ک، "پترولوزی و ژئوشیمی توده نفوذی جنوب کی کی (جنوب غرب بیارجمند)"، پایان نامه کارشناسی ارشد زمین شناسی (گرایش پترولوزی)، دانشگاه تهران، پردیس علوم، دانشکده زمین شناسی، (۱۳۹۰) ۱۵۰ صفحه.
- [۴۲] حسینی س.ح، "پترولوزی و ژئوشیمی گرانیت بند هزار چاه بیارجمند"، پایان نامه کارشناسی ارشد، دانشگاه تهران، دانشکده علوم، (۱۳۷۴) ۱۴۷ صفحه.
- [۴۳] مسعودی ف، قربانی م، رحیم زاده ب، "مطالعه شرایط فیزیکی و تحولات تبلور مagma در سنگ های ولکانیکی شرق قزوین"، *فصلنامه زمین شناسی ایران*، ۱۱ (۱۳۸۸) ص ۷۵–۶۷.
- [۲۶] نوایی ا، صالحی راد م، مجبدی ب، "نقشه زمین شناسی ۱:۲۵۰۰۰۰ خاتروران"، سازمان زمین شناسی کشور، (۱۹۹۲).
- [۲۷] کاظمی ک، کنعانیان ع، سرجوقیان ف، "شوهد سنگ-نگاری دگرشکلی دما بالا در حاشیه‌ی توده‌ی گرانیتوئیدی کیکی، ایران مرکزی"، *مجله بلورشناسی و کانی شناسی ایران*، شماره ۱ (۱۳۹۳) ص ۱۴–۳.
- [28] Saltikov S.A., "The determination of the size distribution of particles in an opaque material from a measurement of the size distributions of their sections. In H. Elias, Ed. *Proceedings of the Second International Congress for Stereology*", Springer-Verlag, Berlin (1967) 163–173.
- [29] Sahagian D.L., Proussevitch A.A., "3D particle size distributions from 2D observations; stereology for natural applications", *Journal of Volcanology and Geothermal Research* 84 (3–4) (1998) 173–196.
- [30] Van der Zwan F.M., Chadwick J.P., Troll V.R., "Textural history of recent basaltic-andesites and plutonic inclusions from Merapi volcano", *Contributions to Mineralogy and Petrology* 166 (2013) 43–63.
- [31] Resmini R.G., "Modeling of crystal size distributions (CSDs) in sills", *Journal of Volcanology and Geothermal Research* 161 (2007) 118–130.
- [32] Rannou E., Caroff M., "Crystal Size Distribution in Magmatic Rocks: Proposition of a Synthetic Theoretical Model", *Journal of Petrology* 51 (2010) 1087–1098.
- [33] Higgins M.D., "Use of appropriate diagrams to determine if crystal size distributions (CSD) are dominantly semi-logarithmic, lognormal or fractal (scale invariant)", *Journal of Volcanology and Geothermal Research* 154 (2006b) 8–16.
- [34] Delesse M.A., "Procédé mécanique pour déterminer la composition des roches", *Comptes Rendus de l'académie des sciences (Paris)* 25 (1847) 544–545.